

# 確率的手法を用いた ドジッター時空中の真空崩壊率

宮地大河(神戸大)

共同研究者：早田次郎(神戸大)、徳田 順生(CTPU, IBS)  
(現在論文準備中)

# 目次

---

1. 導入
2. 確率的手法 (Review)
3. 経路積分表示と真空崩壊率 (Our work)

# 目次

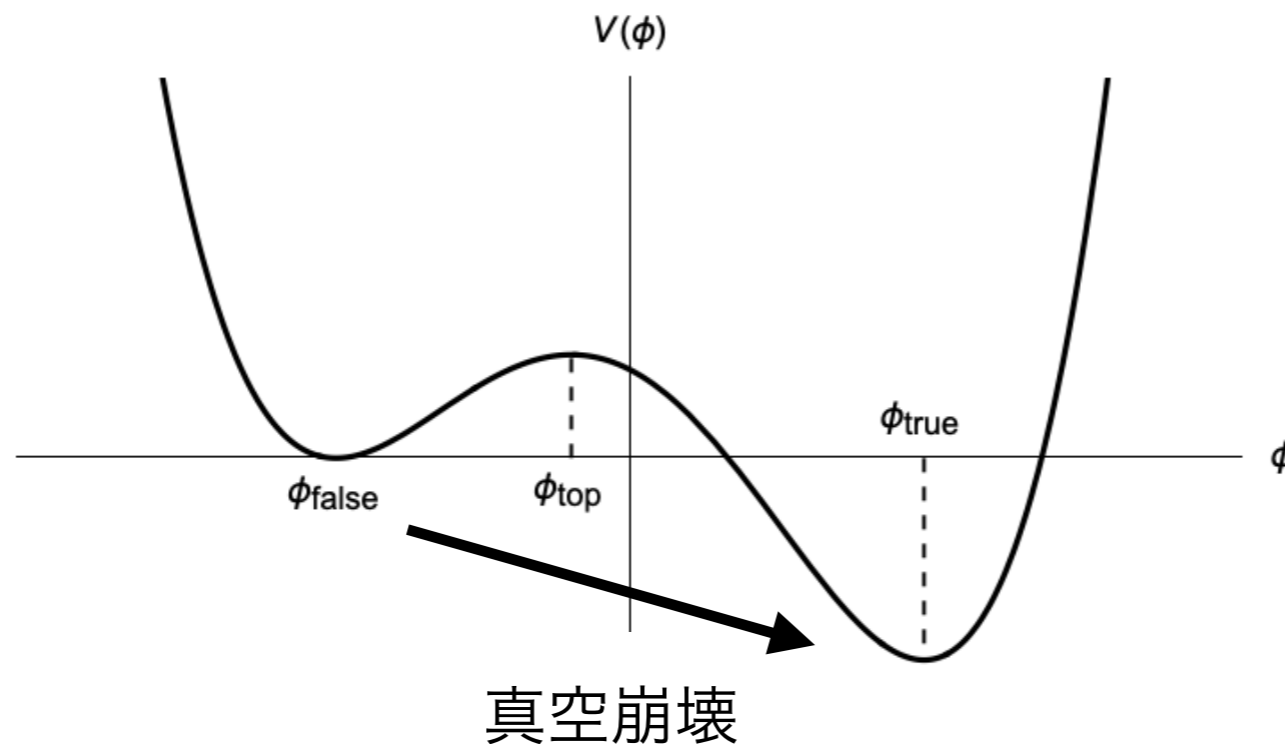
---

1. 導入
2. 確率的手法 (Review)
3. 経路積分表示と真空崩壊率 (Our work)

# 偽の真空崩壊

偽の真空崩壊 = 場の量子論におけるトンネリング

スカラー場のポテンシャル

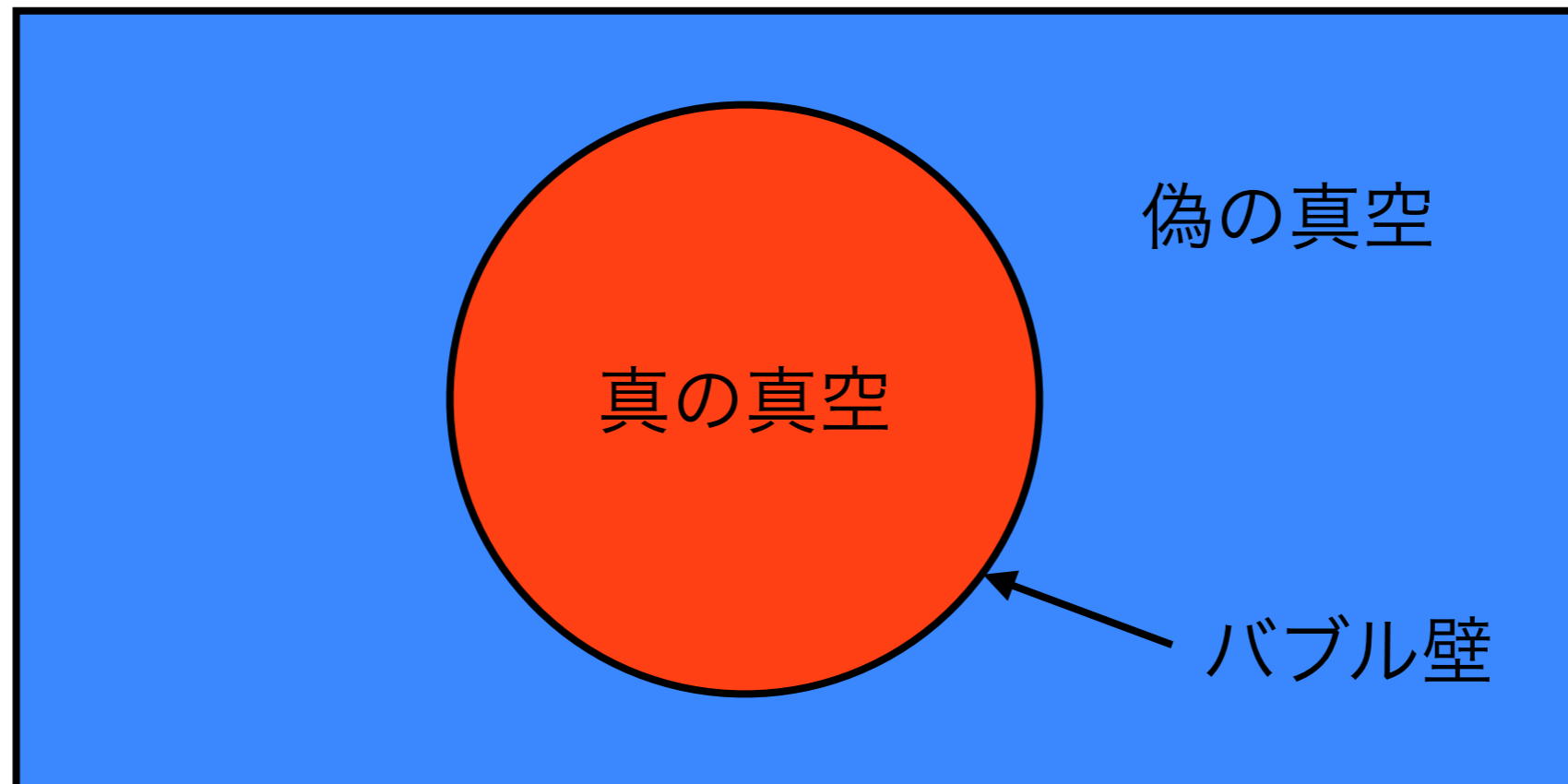


- Eg)
- Inflation models (Old inflation, Chain inflation)
  - String theory landscape
  - Axion monodromy
  - Extended Higgs sector

# 真空崩壊で何が起こるか？

バブルが現れる (過冷却水に類似した現象)

S. R. Coleman (1977)



## Bubble phenomena

- Gravitational wave from bubble collisions
- Electro weak baryogenesis
- Primordial black hole

# 真空崩壊率の計算法

- 通常、真空崩壊率の計算は虚時間法を用いる。

$$\Gamma = Ae^{-S_E[\phi]} \quad (A : \text{量子補正}, S_E[\phi] : \text{ユークリッド作用})$$

- ユークリッド作用  $S_E[\phi]$  は鞍点解で評価する。

C.G. Callan and S. R. Coleman (1977)

- de Sitter 時空の場合2つの鞍点解がある。
  - Coleman-De Luccia (CDL) : バブルが出現する
  - Hawking-Moss (HM) :  $\phi = \phi_{top}$  (=const.)
- HMを偽の真空から真の真空への遷移と解釈するのは困難。

確率的手法を用いてCDL, HMを実時間で記述する。

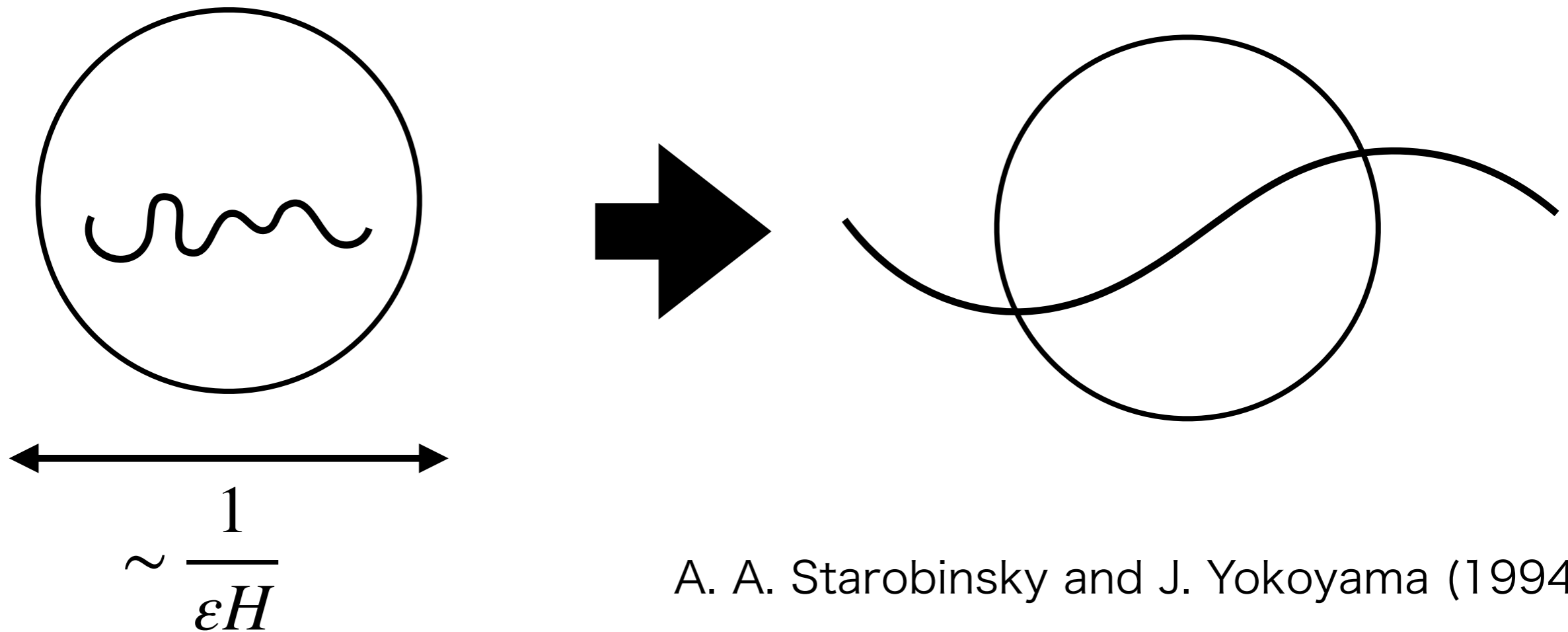
# 目次

---

1. 導入
2. 確率的手法 (Review)
3. 経路積分表示と真空崩壊率 (Our work)

# Stochastic approach のアイデア

(量子的な)短波長モード(UV)は空間の加速膨張で引き伸ばされ、(古典的な)長波長モード(IR)になる。



長波長モードは古典的に扱う。

長波長モードに転じていく効果はノイズとして表す。



# Langevin equationの導出1

Klein-Gordon 方程式 (in de Sitter spacetime)

$$\partial_t^2 \phi + 3H \partial_t \phi - \frac{1}{a^2} \nabla^2 \phi + \frac{\partial V}{\partial \phi} = 0$$

場と共役運動量をIRとUVのパートに分ける。

$$\hat{\phi} = \phi_{IR} + \hat{\phi}_{UV}$$

$$\hat{\pi} = \pi_{IR} + \hat{\pi}_{UV}$$

$\hat{\phi}_{UV}$  は次のようなモード展開をしている。(  $k_c = \epsilon a(t)H$  )

$$\hat{\phi}_{UV} = \int \frac{d^3 k}{(2\pi)^3} \theta(k - k_c) [\hat{a}_k \phi_k(t) e^{ik \cdot x} + \hat{a}_k^\dagger \phi_k^*(t) e^{-ik \cdot x}]$$

$$\hat{\pi}_{UV} = \int \frac{d^3 k}{(2\pi)^3} \theta(k - k_c) [\hat{a}_k \dot{\phi}_k(t) e^{ik \cdot x} + \hat{a}_k^\dagger \dot{\phi}_k^*(t) e^{-ik \cdot x}]$$

# Langevin equationの導出2

また、モード関数 $\phi_k(t)$ は次をみます。

$$\partial_t^2 \phi_k + 3H \partial_t \phi_k + \frac{k^2}{a^2} \phi_k + \frac{\partial^2 V(\phi_{IR})}{\partial \phi^2} \phi_k = 0$$

この時、Klein-Gordon方程式は次のようになる。

$$\dot{\phi}_{IR} = a^{-3} \pi_{IR} + \xi^\phi$$

$$\dot{\pi}_{IR} = a \nabla^2 \phi_{IR} - a^3 \frac{\partial V}{\partial \phi} + \xi^\pi$$

ここで、 $\xi^\phi, \xi^\pi$  はUVパートからくる量子的なノイズ

$$\xi^\phi = \dot{k}_c \int \frac{d^3 k}{(2\pi)^3} \delta(k - k_c) [\hat{a}_k \phi_k(t) e^{ik \cdot x} + \hat{a}_k^\dagger \phi_k^*(t) e^{-ik \cdot x}]$$

$$\xi^\pi = \dot{k}_c \int \frac{d^3 k}{(2\pi)^3} \delta(k - k_c) [\hat{a}_k \dot{\phi}_k(t) e^{ik \cdot x} + \hat{a}_k^\dagger \dot{\phi}_k^*(t) e^{-ik \cdot x}]$$

# Langevin 方程式

- Langevin方程式

$$\dot{\phi}_{IR} = a^{-3}\Pi_{IR} + \xi^{\phi}$$

$$\dot{\Pi}_{IR} = a \nabla^2 \phi_{IR} - a^3 V'(\phi_{IR}) + \xi^{\Pi}$$

$a(t) = e^{Ht}$  : スケール因子

de Sitter 時空中の Klein-Gordon 方程式にノイズ  $\xi$  が加わった確率微分方程式

ノイズは以下の統計性に従う

$$\langle \xi^{\alpha}(t, \mathbf{x}) \rangle_{\xi} = 0, \quad (\alpha, \beta = \phi, \Pi),$$

$$\langle \xi^{\alpha}(t, \mathbf{x}) \xi^{\beta}(t', \mathbf{x}') \rangle_{\xi} = \frac{1}{2\pi^2} \dot{k}_c(t) k_c(t)^2 \frac{\sin(k_c(t)r)}{k_c(t)r} \text{Re}[g^{\alpha\beta}(t)] \delta(t - t'),$$

$k_c(t) := \varepsilon a(t)H$  : 長波長と短波長を分けるカットオフスケール

# Bunch-Davies 真空 1

$g^{\alpha\beta}(t)$  はモード関数で決まる関数

$$\begin{cases} g^{\phi\phi}(t) := |\phi_{k_c}(t)|^2 \\ g^{\Pi\Pi}(t) := a(t)^6 |\dot{\phi}_{k_c}(t)|^2 \\ g^{\phi\Pi}(t) = (g^{\Pi\phi})^* := a(t)^3 \phi_{k_c}(t) \dot{\phi}_{k_c}^*(t). \end{cases}$$

$\phi_k(t)$  : 以下の方程式に従うモード関数 (真空の選び方に依存)

$$\ddot{\phi}_k + 3H\dot{\phi}_k + a^{-2}k^2\phi_k + V''(\phi_{IR})\phi_k = 0$$

ここではBunch-Davies 真空を選ぶ。

$$\phi_k \rightarrow -\frac{H\eta}{\sqrt{2k}} e^{-ik\eta}, \quad (-k\eta \rightarrow \infty) \quad (\text{無限の過去でMinkowski真空})$$

# Bunch-Davies 真空 2

さらに  $\frac{k^2}{a^2} > \frac{k_c^2}{a^2} = \epsilon^2 H^2 \gg |V''|$  を課すと

$$\phi_k = \frac{H\eta}{\sqrt{2k}} \left( \frac{1}{-ik\eta} - 1 \right) e^{-ik\eta}$$

Bunch-Davies 真空における  $g^{\alpha\beta}(t)$

$$\left\{ \begin{array}{l} g^{\phi\phi} = \frac{H^2\eta^2}{2k_c} \left( \frac{1}{k_c^2\eta^2} + 1 \right) = \frac{1}{2a^3H} \left( \epsilon^{-3} + \epsilon^{-1} \right) \\ g^{\Pi\Pi} = \frac{k_c}{2H^2\eta^2} = \frac{a^3H}{2} \epsilon \\ g^{\phi\Pi} = g^{\Pi\phi^*} = \frac{1}{2} \left( \frac{1}{k_c\eta} + i \right) = -\frac{1}{2} \epsilon^{-1} + \frac{i}{2} \end{array} \right.$$

# Stochastic approachとトンネリング<sup>14</sup>

- ノイズの寄与によって、偽の真空から真の真空へのトンネリングが起こる。

cf : Kramers escape problem

## 利点

- 全て実時間で記述されている
- 真空の選び方は  $g^{\alpha\beta}(t)$  にしか影響を及ぼさない。

$$\left\{ \begin{array}{l} g^{\phi\phi}(t) := |\phi_{k_c}(t)|^2 \\ g^{\Pi\Pi}(t) := a(t)^6 |\dot{\phi}_{k_c}(t)|^2 \\ g^{\phi\Pi}(t) = (g^{\Pi\phi})^* := a(t)^3 \phi_{k_c}(t) \dot{\phi}_{k_c}^*(t) \end{array} \right.$$

では真空崩壊率はどのように定義するか？

# 目次

---

1. 導入
2. 確率的手法 (Review)
3. 経路積分表示と真空崩壊率 (Our work)

# 経路積分表示

- 簡単のため、 $\varepsilon \ll 1$ , 一様性 ( $\nabla^2 \phi \sim 0$ ), slow-roll近似を課す

$$\dot{\phi}_{IR} = -\frac{1}{3H} V'(\phi_{IR}) + \xi^\phi$$

$$\langle \xi^\phi(t) \rangle = 0, \quad \langle \xi^\phi(t) \xi^\phi(t') \rangle = \frac{H^3}{4\pi^2} \delta(t - t')$$

- このLangevin方程式に対して以下の遷移確率が導出できる。

$$p(\phi, t | \phi', t') = \int_{\phi(t')=\phi'}^{\phi(t)=\phi} \mathcal{D}(\phi, p^\phi) \exp \left[ \int dt \left( p^\phi \dot{\phi} - H(\phi, p^\phi) \right) \right],$$

$$H(\phi, p^\phi) := -\frac{V'}{3H} p^\phi - \frac{H^3}{8\pi^2} (p^\phi)^2$$

ノイズの寄与

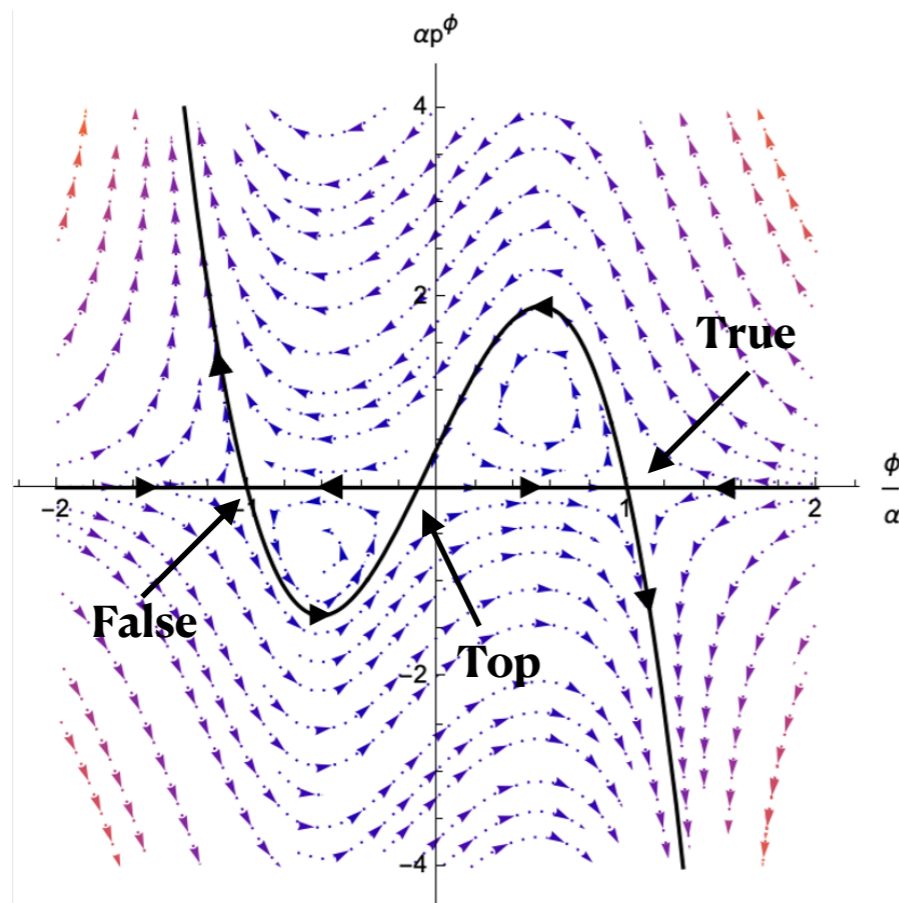
Martin–Siggia–Rose–Janssen–de Dominicis (MSRJD) functional integral

この表式を鞍点近似して真空崩壊率を計算する。

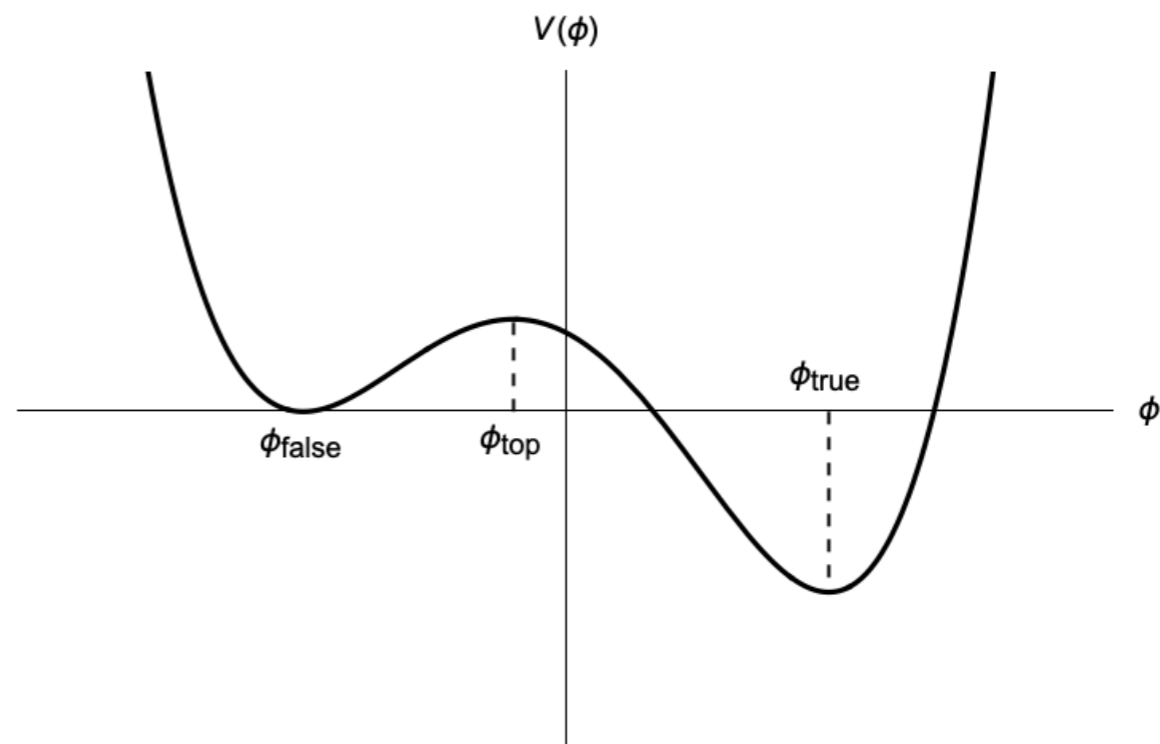


# Hamilton Flow

“ハミルトニアン”  $H(\phi, p^\phi)$  に対する位相空間  $(\phi, p^\phi)$  上のflow



黒線は  $H(\phi, p^\phi) = 0$  を満たすflow



Cf: “Condensed matter field theory” (A. Altland and B. Simons)

偽の真空から真の真空に至るflowが存在する。

このflowに対する”作用”を計算すると、Hawking-Mossインスタントンの結果と一致する。

# Hawking-Moss action

- ハミルトニアン

$$H(\phi, p^\phi) := -\frac{V'}{3H} p^\phi - \frac{H^3}{8\pi^2} (p^\phi)^2$$

- $H(\phi, p^\phi) = 0$  を満たす配位

$$p^\phi = 0, \quad -\frac{8\pi^2}{3H^4} V'$$

- 非自明な配位  $p^\phi \neq 0$  に対する方程式

$$\dot{\phi} = \frac{V'}{3H}, \quad (p^\phi \neq 0)$$

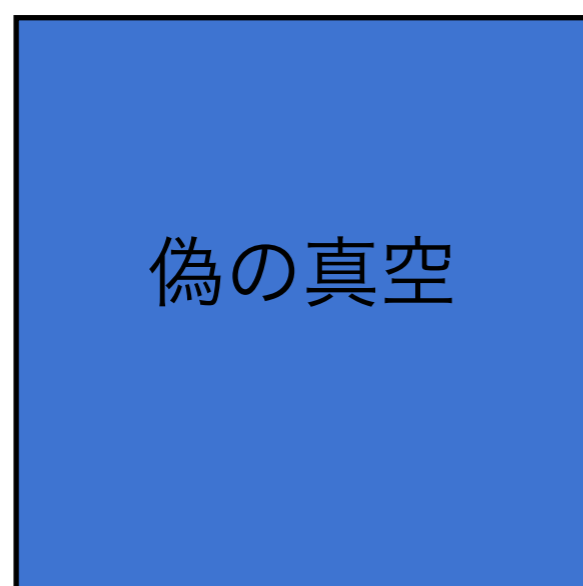
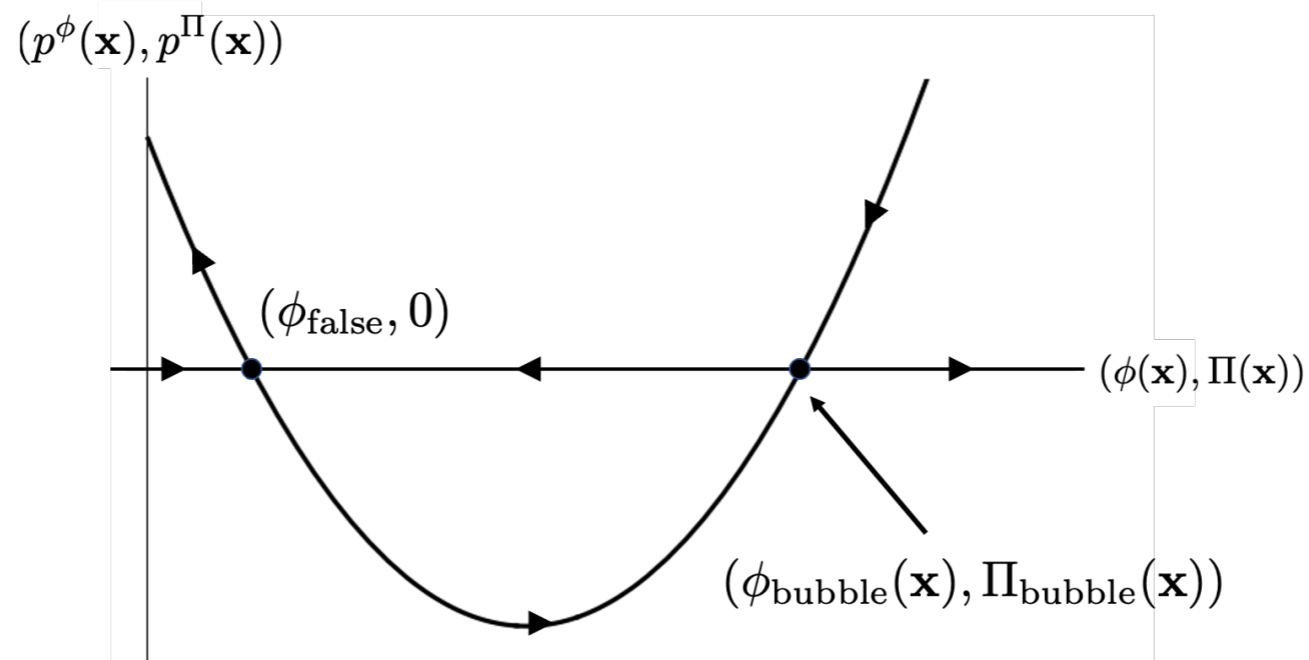
- トンネリング配位に対する作用

$$I_{HM} = \int dt (p^\phi \dot{\phi} - H(\phi, p^\phi)) = -\frac{8\pi^2}{3H^4} \int_{t'}^{t_*} dt \dot{\phi} V' = -\frac{8\pi^2}{3H^4} \Delta V$$

# バブルの生成は記述できるか？

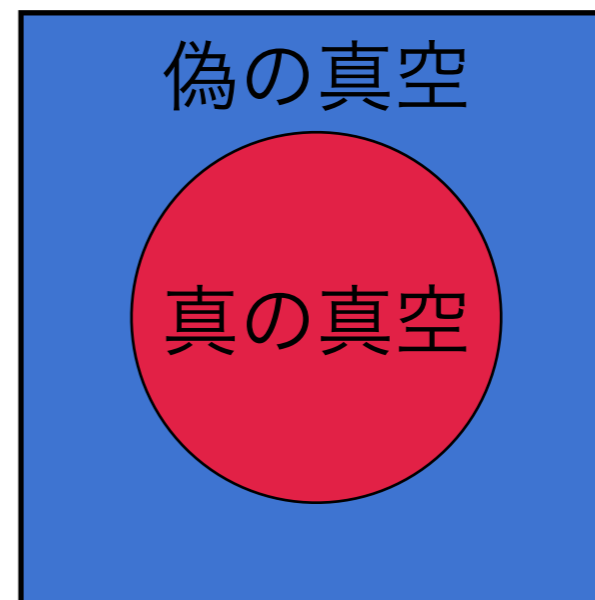
バブルの出現を記述することもできないか？ → Yes!

イメージ



$\phi_{\text{false}}$

真空崩壊



$\phi_{\text{bubble}}$

# 近似のない経路積分表示

- 近似なしのLangevin方程式から得られる経路積分表示

$$p(\phi(\mathbf{x}), \Pi(\mathbf{x}), t | \phi'(\mathbf{x}), \Pi'(\mathbf{x}), t') = \int_{(\phi(t', \mathbf{X}), \Pi(t', \mathbf{X}))=(\phi'(\mathbf{X}), \Pi'(\mathbf{X}))}^{(\phi(t, \mathbf{X}), \Pi(t, \mathbf{X}))=(\phi(\mathbf{X}), \Pi(\mathbf{X}))} \mathcal{D}(\phi, \Pi, p^\phi, p^\Pi) \\ \times \exp \left[ \int d^4x \left( p^\phi \dot{\phi} + p^\Pi \dot{\Pi} - H(\phi, \Pi, p^\phi, p^\Pi) \right) \right]$$

$$H(\phi, \Pi, p^\phi, p^\Pi) := a^{-3} \Pi p^\phi + (a \nabla^2 \phi - a^3 V') p^\Pi - \frac{1}{2} \int d^4x' \sum_{\alpha, \beta} p^\alpha(x) G^{\alpha\beta}(x, x') p^\beta(x')$$

---

ノイズの寄与

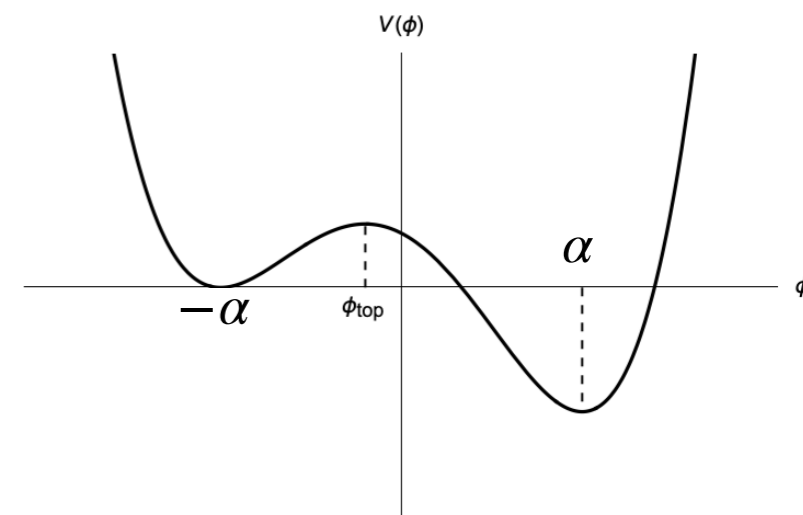
- $\varepsilon \gg 1$ の仮定の下で、 $H(\phi, \Pi, p^\phi, p^\Pi) = 0$ を満たす非自明なflowに対する以下の運動方程式を得られた。

$$\ddot{\phi} + 3H\dot{\phi} = V' - a^{-2} \nabla^2 \phi, \quad (p^\phi = 0, p^\Pi \neq 0)$$

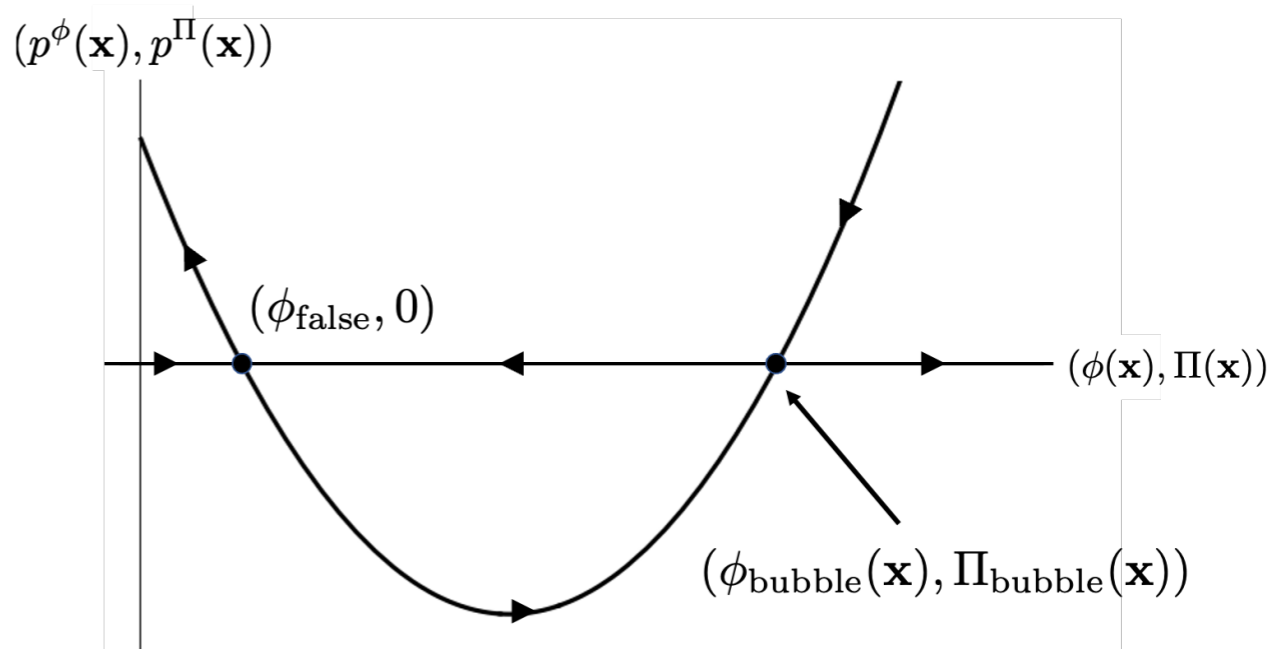
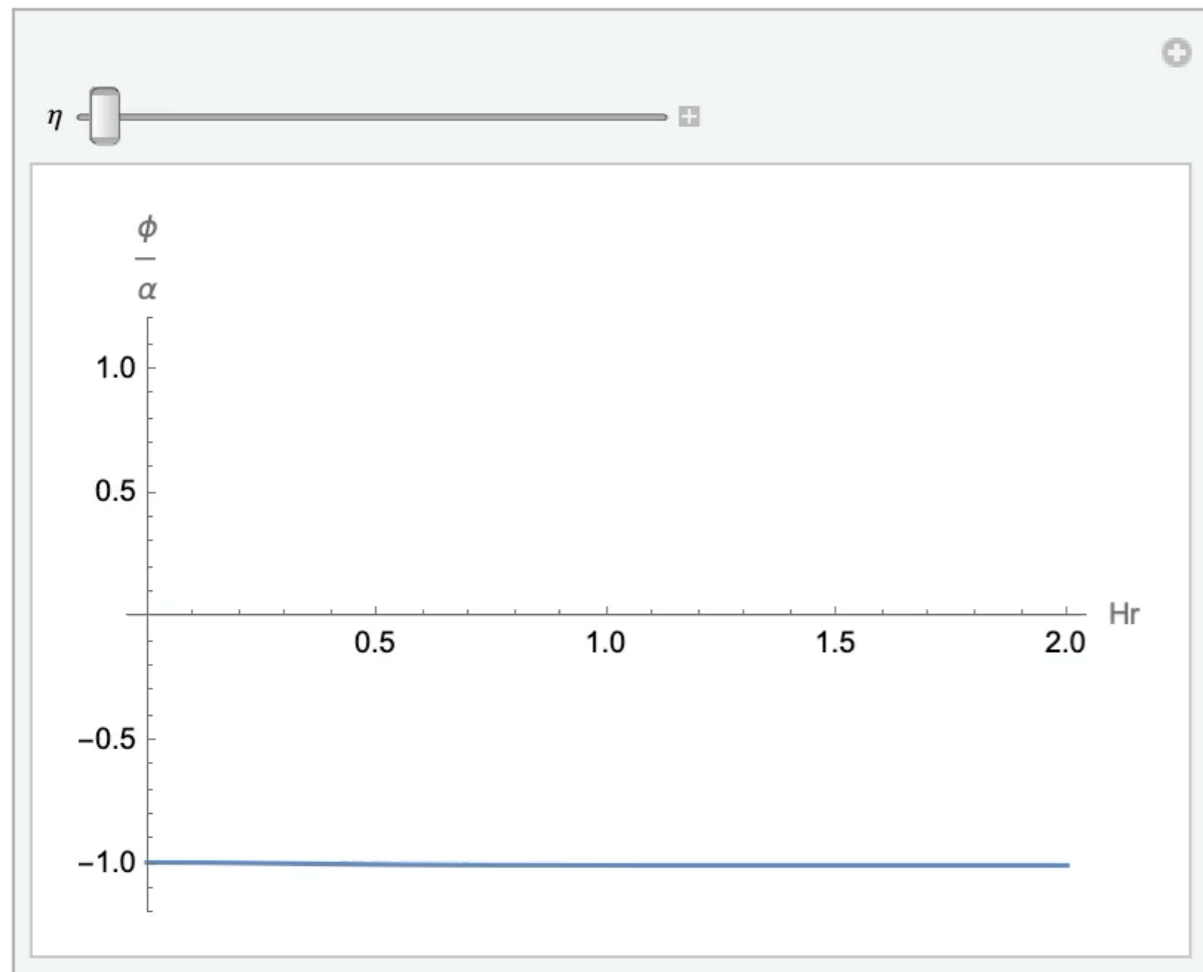
- 実はEuclidean AdSの対称性を持つ方程式。

# 偽の真空からバブル生成まで

- $O(4)$ 対称性を課すと 
$$\frac{d^2\phi}{d\rho^2} + \frac{3}{\tanh\rho} \frac{d\phi}{d\rho} = \frac{V'}{H^2}$$
- 境界条件は  $\lim_{\rho \rightarrow \infty} \phi = -\alpha, \quad \left. \frac{d\phi}{d\rho} \right|_{\rho=0} = 0$



$(\eta, r)$ における時間発展



偽の真空から時間発展して  
バブルが生成された！

# HM VS CDL

- 数値計算のために以下のようなポテンシャルを考えた。

$$V(\phi) = \frac{g^2}{4} \left[ (\phi^2 - \alpha^2)^2 + \frac{4\beta}{3} (\alpha\phi^3 - 3\alpha^3\phi - 2\alpha^4) \right]$$

- 一様な場合(HM)とバブルが生成される場合の作用の比を取ると

$$\gamma := \frac{I_{bubble}}{I_{HM}} = \frac{3\alpha^2 H^2}{\pi \Delta V \varepsilon} \tilde{I} = \frac{1}{\varepsilon} \frac{36}{\pi(1-\beta)^3(\beta+3)} \frac{H^2}{\alpha^2 g^2} \tilde{I}$$

$\tilde{I}$  : バブル配位に対して得られる数値

- $V(\phi)$  がsteepな時、バブルを生成する配位が支配的になる ( $\gamma < 1$ )。

Eg)  $\beta = 0.5$ ,  $\frac{g^2 \alpha^2}{H^2} = 140$  の場合、 $\gamma = 0.474314/\varepsilon$

- これは虚時間法の場合と整合している。

# まとめと今後の展望

## まとめ

- Stochastic approachを用いてde Sitter時空中の真空崩壊を記述した。
- MSRJD functional integral を用いて真空崩壊率を定義した。
- HMインスタントンの作用を再現した。
- CDL的な配位を作ることができた。
- CDL配位が、HM配位よりも支配的な場合があることを示した。

## 今後の展望

- 虚時間法との関係 (Keldysh formalism ?)
- 特に、Coleman-De Luccia インスタントンとの関係
- 他にもトンネリングを記述するflowがあるか? ( $p^\phi \neq 0, p^\Pi \neq 0$ )
- 有限温度効果も取り入れられるか?
- トンネリングを伴うインフレーションモデルへの応用 (Eg. Chain inflation)

Back up



# Hawking-Moss action

- ハミルトニアン

$$H(\phi, p^\phi) := -\frac{V'}{3H} p^\phi - \frac{H^3}{8\pi^2} (p^\phi)^2$$

- $H(\phi, p^\phi) = 0$  を満たす配位

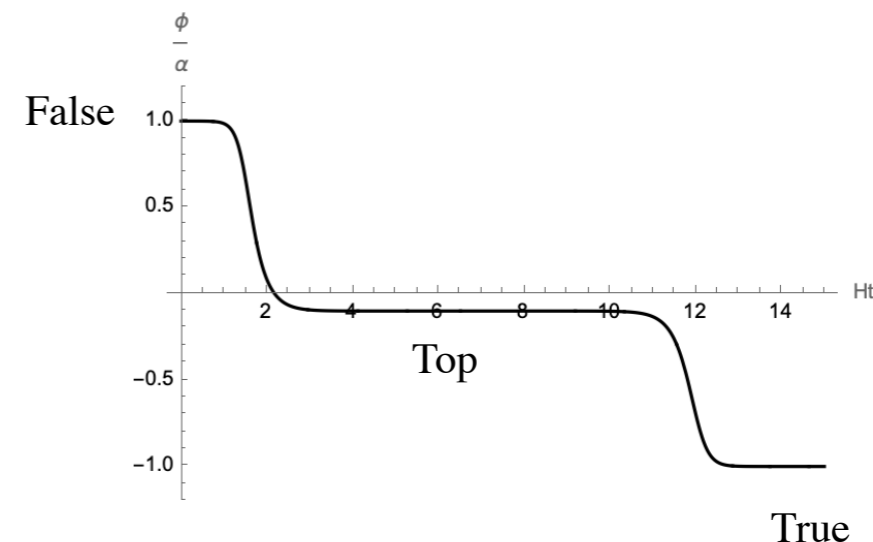
$$p^\phi = 0, \quad -\frac{8\pi^2}{3H^4} V'$$

- 非自明な配位  $p^\phi \neq 0$  に対する方程式

$$\dot{\phi} = \frac{V'}{3H}, \quad (p^\phi \neq 0)$$

- 非自明な配位  $p^\phi \neq 0$  に対する作用

$$I_{HM} = \int dt (p^\phi \dot{\phi} - H(\phi, p^\phi)) = -\frac{8\pi^2}{3H^4} \int_{t'}^{t_*} dt \dot{\phi} V' = -\frac{8\pi^2}{3H^4} \Delta V$$

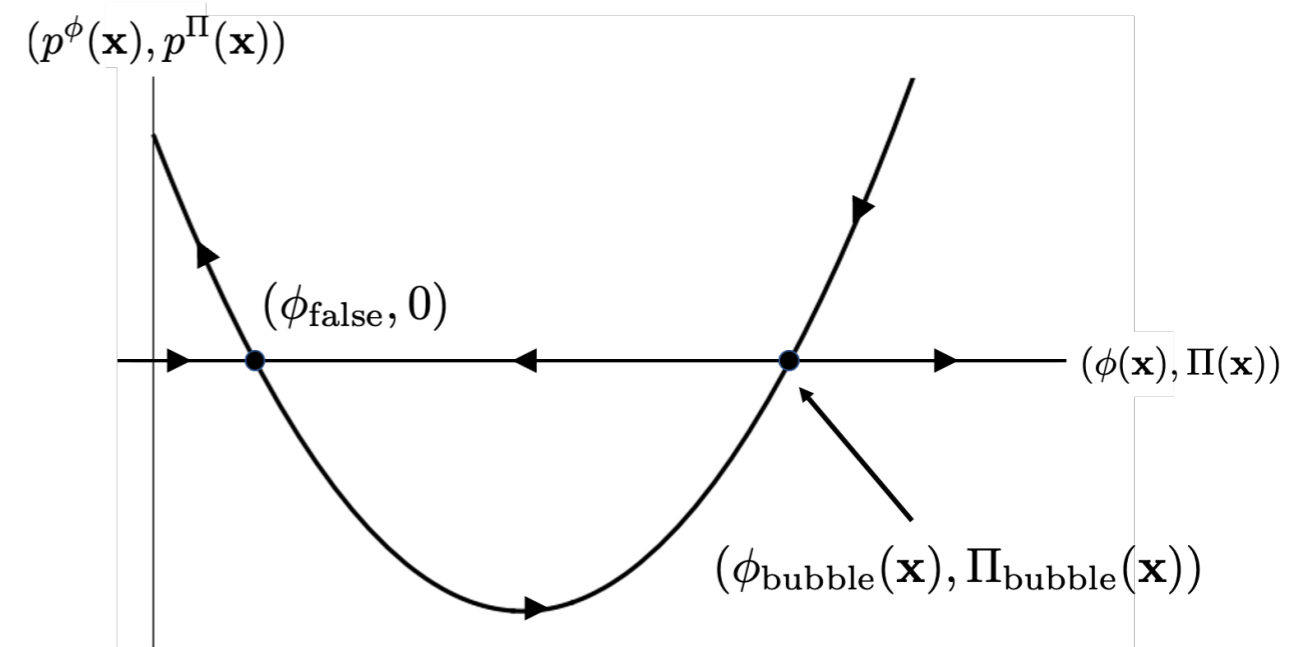
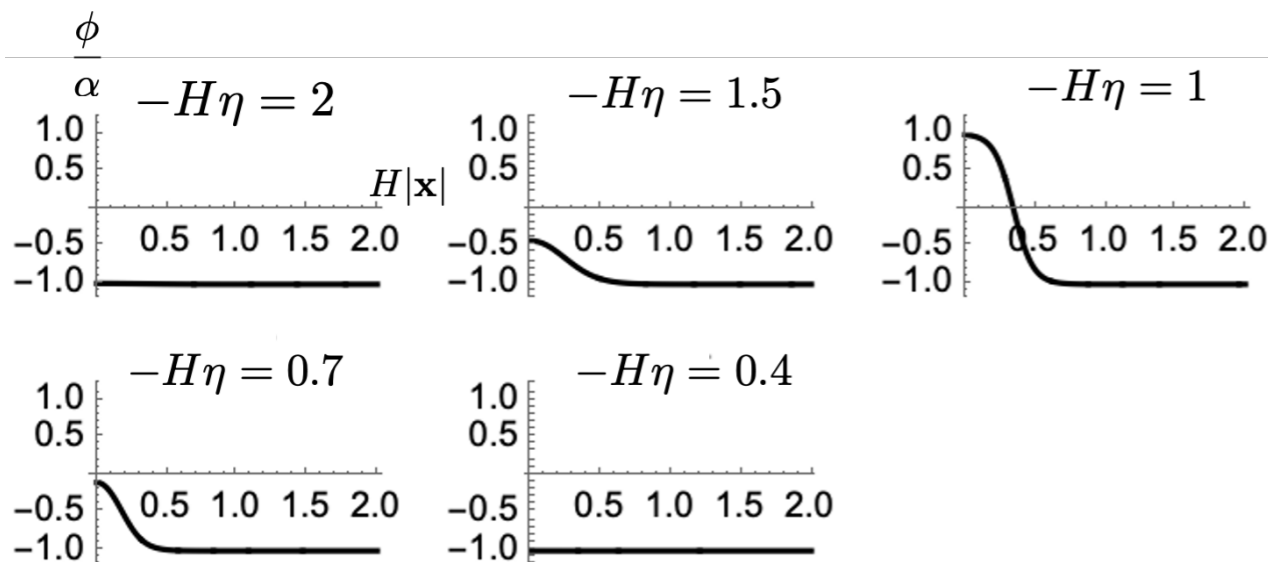
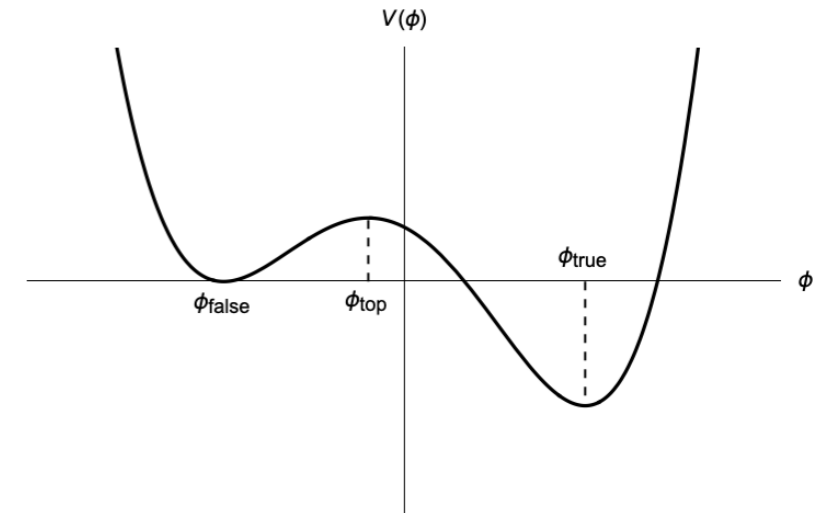


# 偽の真空からバブル生成まで

- $O(4)$ 対称性を課して

$$\frac{d^2\phi}{d\rho^2} + \frac{3}{\tanh\rho} \frac{d\phi}{d\rho} = \frac{V'}{H^2}$$

- 境界条件は  $\lim_{\rho \rightarrow \infty} \phi = -\alpha, \quad \left. \frac{d\phi}{d\rho} \right|_{\rho=0} = 0$



偽の真空から時間発展して  
バブルが生成された！

# バブル配位に対する作用1

- $\varepsilon \gg 1$ を仮定
- ノイズ項の近似

$$-\frac{1}{2} \int d^4x' p^\Pi(x) G^{\Pi\Pi}(x, x') p^\Pi(x') \sim -\frac{H^2 \varepsilon}{2} a^3 p^\Pi(x)^2 \quad \left( \frac{\sin(k_c r)}{k_c r} \sim \frac{4\pi^2}{k_c^3} \delta^{(3)}(\mathbf{x} - \mathbf{x}') \right)$$

- ハミルトニアン

$$H(\phi, \Pi, p^\phi, p^\Pi) \simeq a^{-3} \Pi p^\phi + (a \nabla^2 \phi - a^3 V') p^\Pi - \frac{H^2 \varepsilon}{2} a^3 (p^\Pi)^2$$

- $H(\phi, \Pi, p^\phi, p^\Pi) = 0$  を満たす配位

$$\left( p^\phi, p^\Pi \right) = \left( 0, 0 \right), \left( 0, \frac{2}{H^2 \varepsilon} (a^{-2} \nabla^2 \phi - V') \right)$$

# バブル配位に対する作用2

- 非自明な配位  $p^\Pi \neq 0$  に対する方程式

$$\ddot{\phi} + 3H\dot{\phi} = V' - a^{-2} \nabla^2 \phi, \quad (p^\phi = 0, p^\Pi \neq 0)$$

- Euclidean AdS 時空の定義

$$ds^2 = -dX_0^2 + dX_1^2 + dX_2^2 + dX_3^2 + dX_4^2,$$

$$-X_0^2 + X_1^2 + X_2^2 + X_3^2 + X_4^2 = -H^{-2}.$$

- Euclidean AdS 時空の座標

$$ds^2 = dt^2 + e^{2Ht} d\mathbf{x}^2$$

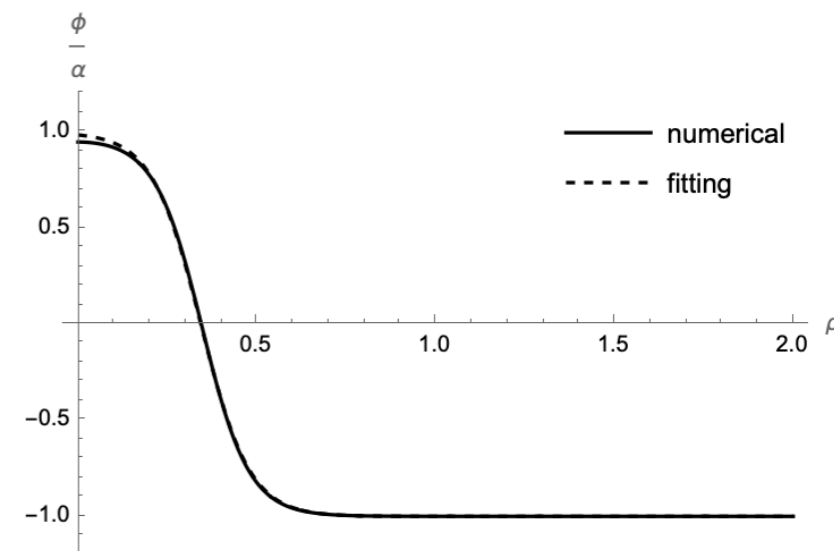
$$= \frac{1}{H^2 \eta^2} (d\eta^2 + d\mathbf{x}^2) \quad \left( \frac{1}{-H\eta} := e^{Ht} \right)$$

$$= H^{-2} (d\rho^2 + \sinh^2 \rho d\Omega^2)$$

# バブル配位に対する作用3

- $O(4)$ 対称性を課した方程式

$$\frac{d^2\phi}{d\rho^2} + \frac{3}{\tanh \rho} \frac{d\phi}{d\rho} = \frac{V'}{H^2} \quad \left( \rho = \operatorname{arccosh} \left( \frac{1}{2} \frac{H^2(\eta^2 + x^2) + 1}{-H\eta} \right) \right)$$



- Fitting function

$$\phi(\rho) = -\alpha \tanh(\mu(\rho - \bar{\rho}))$$

- 非自明な配位  $\rho^\Pi \neq 0$  に対する作用

$$\begin{aligned} I_{bubble} &= -\frac{8\pi}{H^2\varepsilon} \int_{-H\eta(\rho, \theta_1) > 1} d\rho d\theta_1 \sin^2 \theta_1 \sinh^3 \rho \left[ \frac{(\sinh \rho - \cosh \rho \cos \theta_1)^2}{(\cosh \rho - \sinh \rho \cos \theta_1)^2} \frac{\partial^2 \phi}{\partial \rho^2} \right. \\ &\quad \left. + \left\{ 3 \frac{\sinh \rho - \cosh \rho \cos \theta_1}{\cosh \rho - \sinh \rho \cos \theta_1} + \frac{\sin^2 \theta_1}{\tanh \rho (\cosh \rho - \sinh \rho \cos \theta_1)^2} \right\} \frac{\partial \phi}{\partial \rho} \right]^2 \\ &:= -\frac{8\pi\alpha^2}{H^2\varepsilon} \tilde{I}(\mu, \bar{\rho}) \end{aligned}$$

# $-H\eta > 1$ の領域

